## Z. WÓYCICKI.

Aus dem Inst. f. Allg. Botanik der Universität Warschau.

(eingegangen 30.IX.1934).

## ÜBER DIE VON HABERLANDT ENTDECKTEN SPALTOFFNUNGSABNORMITÄTEN BEI

POPULUS LASIOCARPA.

In seiner jüngst erschienenen Abhandlung "Zur Physiologie und Pathologie der Spaltöffnungen" macht Haberlandt anlässlich der Darstellung der abnormen Spaltöffnungsapparate von Populus lasiocarpa folgende Bemerkung: "Die benachbarten Epidermiszellen (die nicht als Nebenzellen erscheinen) weisen dann an den Rückenwänden der Schliesszellen ansehnliche, stark lichtbrechende Membranverdickungen auf, die ganz geschichtet sind. "Sie zeigen" — führt der Autor weiter aus — "mit Phlorogluzin und Salzsäure keine Rotfärbung, sind also nicht verholzt. Auch handelt es sich nicht um eine schleimige Verdickung").

Diese äusserst interessante, unzweifelhaft einen pathologischen Charakter tragende Struktur der Spaltöffnungsapparate, sowie der näher unbestimmte Charakter der scheinbarnur in den benachbarten Zellen auftretenden Membranverdickungen waren es, die mich zu einem näheren Studium dieser Erscheinungen veranlassten, umsomehr als ich in der dendrologischen Sammlung des hiesigen Botanischen Universitätsgartens (in Warszawa) ein geeignetes Objekt dafür fand.

<sup>1)</sup> L. c., S. 14. Letzter Satz von mir unterstrichen.

Vor allem konnte ich mich überzeugen, dass in dem mir zur Verfügung stehender Material (August, September) derartige abnorme Spaltöffnungsapparate — wie die nachfolgende Tabelle beweist — sehr oft und zwar nicht nur einzelweise,

Zahl der Spaltöffnungen auf der unteren Epidermis der Populus lasiocarpa — blätter (auf 1 mm²).

	Normale Spaltöffnungen	Spaltöffnungen mit einer obliterierenden Zelle	Spaltöffnungen mit zwei obliterierenden Zellen	Gesamtzahl der Spaltöffnungen
	242	107	69	418
	311	69	107	487
2	311	107	69	487
	342	69	107	518
	172	69	207	448
	342	107	69	518
	207	69	172	448
	242	107	107	456
**	242	34	107	383
	311	69	69	449
. 8	207	69	34	310
	138	34	34	206
	172	107	107	386
	207	138	107	452
	242	107	0	349
durchsch- nittlich	246	84	91	421

hie und da, sondern stellenweise sogar in ganzen Gruppen vorkamen. Sie fallen schon in Wasser gleich auf (Abb. 77), noch deutlicher werden sie in Javell'scher Lauge sichtbar; in derselben können die glänzenden, stark lichtbrechenden, geschichteten Verdickungen an den Zellmembranem kaum der Beobachtung entgehen (Abb. 81 u. 85 A).

Die Obliterationen der Schliesszellen tragen bei dieser

Pappel denselben mannifaltigen Charakter wie bei Salix (caprea × viminalis) × americana (Abb. 81 bei Haberlandt). Demnach treten bei Populus lasiocarpa — und zwar sogar ziemlich oft - folgeden Anomalien auf: 1) Eine der Schliesszellen wandelt sich in eine gewöhnliche Epidermiszelle um (Abb. 78b); 2) Nur eine der Schliesszellen obliteriert (Abb. 78, 79 a, 84, 86); 3) Beide Schliesszellen obliterieren gänzlich (Abb. 77. 80, 81, 85a) u. s. w.

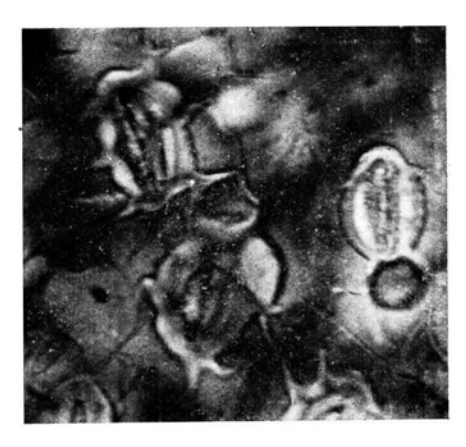


Abb. 77. Populus lasiocarpa: Pathologische Spaltöffnungsapparate in Leitungswasser,  $\times + 640$ .

In sehr vielen Fällen treten in den angrenzenden Zellen gar keine Membranverdickungen auf (Abb. 78, 84, 86). Meistens

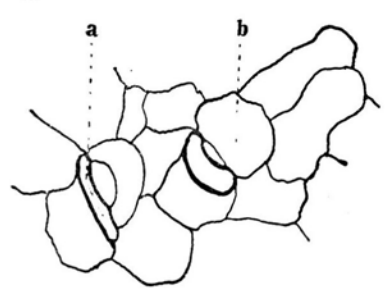


Abb. 78.

Populus lasiocarpa: Zwei Spaltöffnungsapparate. In b Umwandlung einer Schliesszelle in eine gewöhnliche Epidermiszelle; in a Degeneration einer Schliesszelle.

 $\times$  + 400.

jedoch bilden die abnormen Spaltöffnungsapparate—in Übereinstimmung mit den Beobachtungen von Haberlandt den Centralpunkt von Störungen, die sich in dem Auftreten von spezifischen lichtbrechenden Ablagerungen an den Membranen der benachbarten Zellen ausdrücken. Den besten Beweis für diesen Sachverhalt liefern diejenigen Spaltapparate, in denen die Degeneration lediglich eine Schliesszelle umfasst; in derartigen Fällen ist die Bildung der erwähnten Verdickun-

gen ausschliesslich auf das gleich daneben liegende Gebiet beschränkt. (Abb. 79a).

Bei der Obliteration beider Schliesszellen weisen die Ablagerungen denselben Charakter auf, wie auf Abb. 82, (c. d.)

bei Haberlandt bzw. wie auf Abb. 79b der vorliegenden Mitteilung, auf der die Membranverdickungen sogar eine Epi-

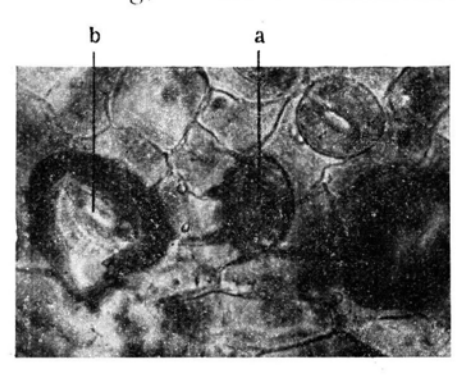


Abb. 79.

Populus lasiocarpa: a) Einseitige Ablagerung in den mit der obliterierten Zelle des Saltöffnungsapparates benachbarten Zellen. b) Mehrseitige Ablagerung. Eine Epidermiszelle in der unmittelbaren Nachbarschaft der absterbenden Schliesszelle unberücksichtigt.  $\times \pm 640$ .

dermiszelle verlassen. In zahlreichen Fällen besitzen die erwähnten Ablagerungen eine bohnenförmige (Abb. 80) bzw. polsterförmige Gestalt (Abb. 85a).

Sehr oft treten die Membranverdickungen keilartig auf die radiär von den Schliesszellen verlaufenden Membranen über; in diesem Falle erhält dies ganze, von der glashellen Substanz überschwemmte Gebiet, eine sternartige Form (Abb. 81).

Über die hier vorherrschenden Verhältnisse unterrichtet am besten ein

Querschnitt durch das Blatt. Aus demselben folgt, dass die Spaltöffnungsapparate von *Populus lasiocarpa* unter die Kategorie IV von Hryniewiecki einzurechnen



Abb. 80.

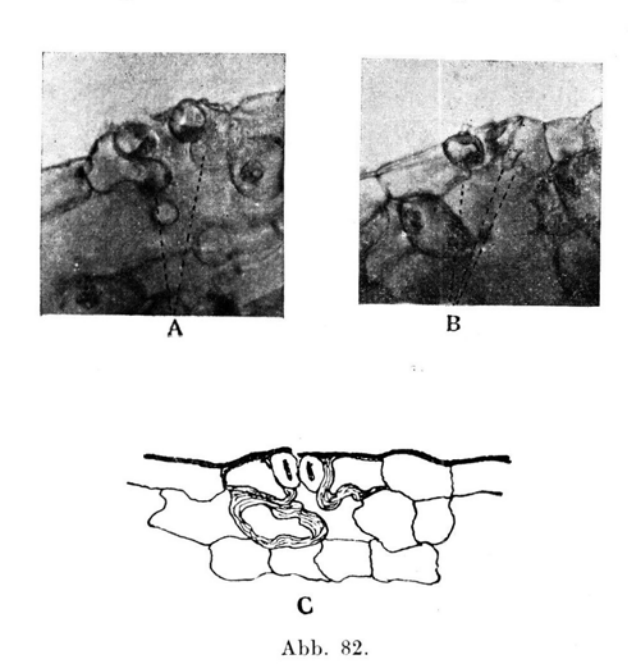
Populus lasiocarpa: Bohnenförmige Ablagerungen auf den Membranenallen dem obliterierten Spaltöffnungsapparat angrenzenden Zellen. Präparat in Korallinsoda.

 $\times \pm 640.$ 



Abb. 81. Populus lasiocarpa: Ablagerungen in mit Eau de Javelle behandelten Zellen.  $\times \pm 640$ .

ist 1). Die Nebenzellen bilden hier in der Regel unterhalb der Schliesszellen Ausbuchtungen (Abb. 82a, b, c), die die nach aussen führende Mündung der inneren Atemhöhle stark verengen. In den normal ausgebildeten Spaltapparaten liegt in diesen Ausbuchtungen gewöhnlich der Kern, in den degenerierenden Spaltapparaten dagegen ist die betreffende Ausbuchtung von einer glänzenden Substanz ausgefüllt (Abb. 82a).



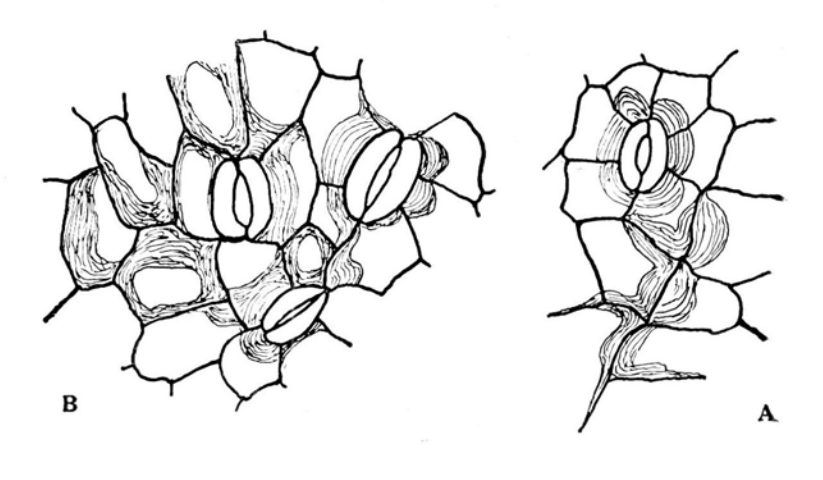
Populus lasiocarpa: Querschnitte durch die obliterierten Spaltöffnungsapparate. A und  $B \times \pm 640$ ,  $C \times \pm 400$ .

Hinzufügend möchte ich bemerken, dass an der Abschliessung oder starken Verringerung der inneren Atemhöhle ebenfalls Parenchymzellen teilnehmen und zwar dadurch, dass sie entweder bloss in der Richtung der Atemhöhle wuchern (Abb. 82c) oder unter die ausgebuchteten Teile der Nebenzellen vorrücken und so den Spalt schliessen. In den degenerierenden Apparaten sind sowohl hier wie dort grössere bzw. kleinere Wandbeläge aus einer glashellen Substanz vorhanden (Abb. 82c).

<sup>1)</sup> Hryniewiecki, B. 1914, S. 556.

Der Prozess der Ablagerung der oben genannten Substanz ist jedoch nicht immer bloss auf das Gebiet der Nebenzellen beschränkt. Der hier seinen Ursprung nehmende Impuls kann sich weiter ausdehnen und in diesem Falle bilden sich Stränge (Abb. 83A) bzw. ganze Inseln von Zellen die einseitige (Abb. 83 B, C) (falls die Epidermiszellen am Rande des genannten Gebietes liegen), bzw. mehrseitige (falls die entsprechenden Epidermiszellen tiefer liegen) Membranablagerungen bilden (Abb. 83B).

Die Bildung der gewöhnlich sehr stark lichtbrechenden Substanz ist nicht bloss auf die Epidermisszellen begrenzt;



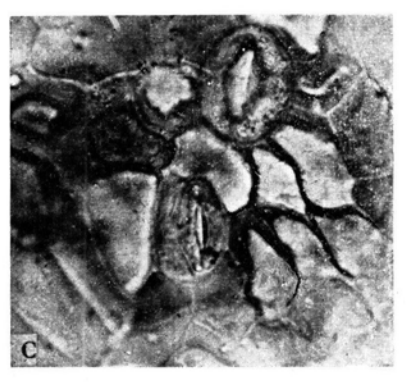


Abb. 83.

Populus lasiocarpa: Stränge (A) bzw. Inseln (B, C) der Zellen der unteren Epidermis mit Ablagerungen der lichtbrechenden Substanz. A und B× + 400, C× + 640.

auch in den dicht der Blattoberfläche angereihten Haaren kommt es zu einer Ablagerung der erwähnten Substanz; an den Querwänden der Haare bilden sich dann Ablagerungen, die keilartig auch auf die Längswände herabfliessen.

Was den Charakter der oben erwähnten Substanz anbelangt, so ging meine erste Annahme in Anbetracht der negativen Ergebnisse der Haberlandt'schen Analysen dahin, dass es sich um fetthaltige Substanzen, d. h. um Kutinabla-

gerungen handelt. Alle in dieser Richtung ausgeführten Reaktionen schlugen jedoch fehl, ebenso wie die Proben auf Reservezellulose. Die Sudanprobe erwies bloss das reichlichste Auftreten von Fettsubstanzen in den degenerierenden Schliesszellen und in der nächsten Nachbarschaft derselben (Abb. 84).

Erst die mikrochemische auf Schleimsubstanzen ergab, dass wir hier eben mit Schleimsubstanzen zu tun haben, und zwar mit Kalloseschleimen. Sie geben-wenn auch nicht ohne gewisse Abweichungen alle von Molisch (1913).

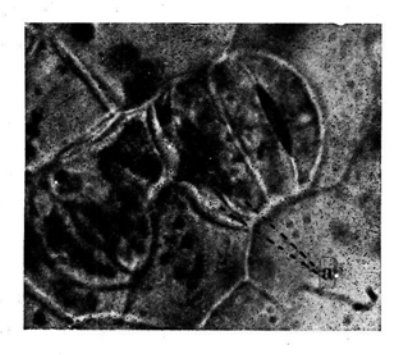


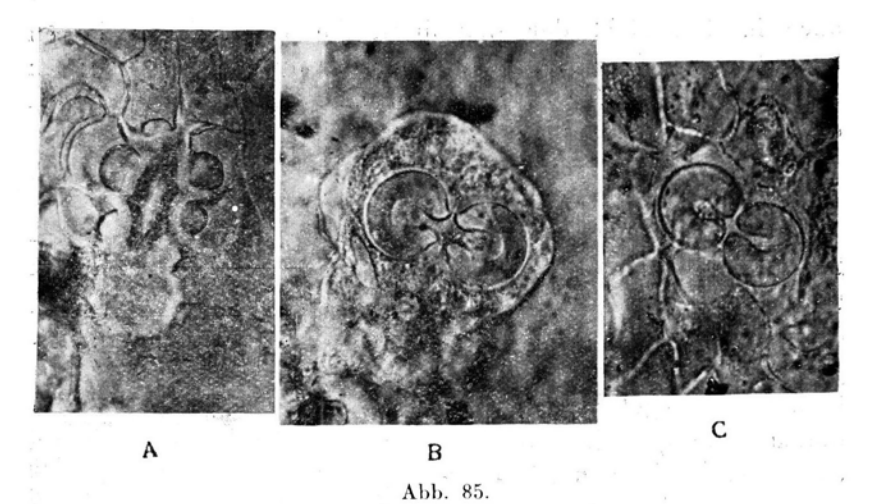
Abb. 84. Spaltöffnungsapparat von Populus lasiocarpa, gefärbt mit Sudan. 1) Fettkügelchen im Plasma der degenerierenden Schliesszelle (a) und in den angrenzenden Zellen.

 $\times + 1020.$ 

Tunmann (1913) und Schneider (1922) angeführten Reaktionen: sie lösen sich ohne zu quellen in Natron - bzw. Kalilauge, in 30% Lösung quellen sie allerdings anfangs an und lösen sich gänzlich erst bei dem Auswaschen des Präparates. Die Schliesszellen erfahren dann eine sehr starke Biegung und bilden zwei kontagierende Bogen.

Im Ammoniak quellen się ohne sich zu lösen. Korallinsoda ruft eine schöne und charakteristische Färbung hervor, dieselbe kommt jedoch nicht sofort zustande sondern erst nach längerer Einwirkung des Farbstoffes (6 - 12 bzw. 24

<sup>1)</sup> Der Apparat a erinnert in seiner Struktur ganz an den abnormen Spaltöffnungsapparat von Hosta ovata (Linsbauer K., 1931, Abb. 6c).



A Degenerierter Spaltöffnungsapparat in Eau de Javelle. – B Derselbe
 Apparat in 30% KOH. – C Derselbe Apparat nebst den angrenzenden Zellen nach Durchspülung mit Leitungswasser. × ± 640.

Stunden). In den schwach anquellenden Ablagerungen kommt sehr deutlich die Schichtung zum Vorschein; die dünnen Schichten färben sich viel intensiver als die dicken. Wird das Präparat in der Reagenzflüssigkeit länger (einige Tage lang) liegen gelassen, so verschwindet die Schichtung vollständig. Anilinblau färbt die betreffenden Substanzen (nach vorherigem Bade in 3% Essigsäure bzw. Ameisensäure) grünlich, das aber schnell in Himmelblau übergeht, welches sich dann länger erhält. Die Proben auf andere Schleimarten, Pentose — Pektose — und Zulluloseschleime, fielen deutlich negativ aus.

Dieselben Kalloseschleime sind mit jenem "homogenen, stark lichtbrechenden Inhalt" identisch, mit dem zuweilen — wie Haberlandt feststellte — die abgestorbenen Schliesszellen ausgefüllt sind. In den Zellen z. B., die auf Abb. 77 dargestellt sind, verwandelte sich der ganze Zellinhalt in Kalloseschleim; von dem Protoplast bleiben meistens bloss einige körnige unterbrochene Streifen zurück.

Am besten veranschaulicht den Grad sowie den Charakter der Degeneration eine Vitalfärbung mit Neutralrot. In diesem Falle bleiben die degenerierten und mit der Kallosesubstanz ausgefüllten Zellen ungefärbt und glänzend, während in den lebenden Zellen die grossen rosa gefärbten Vacuolen

mit mehreren oder einzeln auftretenden kleineren bzw. grösseren instensiv sich rot färbenden tropfigen Fällungen zum Vorschein kommen.

Ohne die Frage im Vornhinein entscheiden zu wollen, ob wir die dargestellten Erscheinungen ausschliesslich den "disharmonischen Plasmaverbindungen" - wie Haberlandt1) annimmt - oder mit Küster dem "physiologischen Altern" 2) bzw. irgendwelchen anderen Faktoren 2) zuzuschreiben haben, darf mit voller Sicherheit festgestellt werden, das wir hier mit Prozessen zu tun haben, die in einer ganz bestimmten Richtung verlaufen und zu einer in dem Auftreten von Kalloseschleimen sich ausdrückenden Degeneration des Protoplasmas führen.



Abb. 86.
Epidermis von Populus lasiocarpa in vivo mit Neutralrot behandelt. In den mit der obliterierten Schliesszelle benachbarten Zellen sind keine Substanzablagerungen vorhaden. In der gesunden (normalen) Schliesszelle im Innern der Vacuole, zwei intensiv rotgefärbte Kügelchen.

 $\times$  + 640.

## LITERATUR.

Haberlandt G. 1904. Physiologische Pflanzenanatomie. Leipzig.

— 1934. Sitzber. Preuss. Akad. Wiss. Phys. Math. Kl. X. Hryniewiecki B. 1914. Bull. Acad. Sci. de Cracovie.

Küster E. 1916. Pathologische Pflanzenanatomie. Zweite Auflage. Jena.

— 1925. " Dritte Auflage. Jena.

— 1929. Pathologie der Pflanzenzelle. Berlin.

<sup>&</sup>lt;sup>1</sup>) Haberlandt G., 1934, p. 3.

<sup>&</sup>lt;sup>2</sup>) Küster E., 1929, p. 141.

<sup>3)</sup> Linsbauer glaubt, dass die ungleiche Entwicklung beider Schliesszellen (d. h. ein Kollaps einer derselben) darauf zurückgeführt werden kann, dass "...können sich doch Unterschiede in den physiologischen Beziehungen zu den Nachbarzellen geltend machen, die sich der Beobachtung und dem Experiment entziehen, aber doch von tiefgreifen den Folgen begleitet sind so dass ihr endgültiges Schicksal ein recht verschiedenes werden kann". L. c., p. 74. vide auch Küster, 1916, p. 84 — 85 und 1925, p. 111 — 112.

Linsbauer K. 1930. Handb. der Pflanzenanatomie.

— 1931. Ber. der Deutsch. Bot. Ges., 49.

Molisch H. 1913. Mikrochemie der Pflanzen. Jena.

Schneider H. 1922. Die Botanische Mikrotechnik. Jena.

Tunmann O. 1913. Pflanzenmikrochemie. Berlin.